

СЗМ-18

М-333

21/VII-69

СООБЩЕНИЯ
ОБЪЕДИНЕННОГО
ИНСТИТУТА
ЯДЕРНЫХ
ИССЛЕДОВАНИЙ

Дубна



P2 - 4543

В. А. Матвеев, Р. М. Мурадян, А. Н. Тавхелидзе

РОЖДЕНИЕ МЮОННЫХ ПАР
В СИЛЬНЫХ ВЗАИМОДЕЙСТВИЯХ
И АСИМПТОТИЧЕСКИЕ ПРАВИЛА СУММ

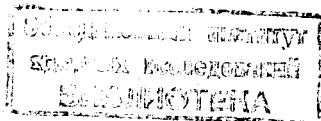
ЛАБОРАТОРИЯ ТЕОРЕТИЧЕСКОЙ ФИЗИКИ

1969

P2 - 4543

В.А.Матвеев, Р.М.Мурадян, А.Н.Тавхелидзе

РОЖДЕНИЕ МЮОННЫХ ПАР
В СИЛЬНЫХ ВЗАИМОДЕЙСТВИЯХ
И АСИМПТОТИЧЕСКИЕ ПРАВИЛА СУММ



1. В в е д е н и е

В последнее время в ряде теоретических работ отмечалось, что изучение глубоко неупругих процессов рассеяния лептонов на протонах является одним из основных средств изучения структуры частиц на малых расстояниях /1-3/. Недавние эксперименты на стэнфордском ускорителе /4/ выявили весьма интересную картину поведения амплитуд неупругого электророждения и послужили основой для выдвижения и проверки ряда теоретических идей /5-7/. С другой стороны, в работах /8,9/ получен ряд ограничений на асимптотическое поведение амплитуд неупругих процессов с участием лишь сильновзаимодействующих частиц, исходя из общих принципов теории поля. Обобщение этих результатов на неупругие процессы с участием лептонов даст возможность получения точных ограничений для формфакторов неупругих процессов.

В настоящей работе изучается процесс образования мюонных пар при глубоко неупругом столкновении двух адронов при высоких энергиях.

- 1) Показано, что при больших энергиях и передачах импульса формфакторы этого процесса связаны с матричными элементами одновременных коммутаторов электромагнитного тока. Полученные при этом асимптотические правила сумм могут послужить основой для проверки структуры электромагнитного тока адронов.
- 2) В частности, для поляризации мюонов предсказания алгебры кварковых токов и алгебры полей качественно различаются.

Изучение поляризации мюонов в рассмотренном процессе необходимо также при анализе экспериментов по поиску W -мезона в протон-протонных столкновениях при помощи детектирования поляризованных мюонов, разлетающихся на большие углы $\sim 10^\circ$. Тесная связь между процессом рождения W -мезона и электромагнитным рождением мюонных пар уже обсуждалась в литературе.

Во II части работы рассмотрена кинематика процесса и приведены необходимые определения и обозначения.

В III части показано, каким образом сечение физического процесса связано с коммутатором электромагнитных токов.

В IV части получены правила сумм, связывающие предельные значения формфакторов с одновременными коммутаторами пространственных компонент электромагнитного тока и производных по времени. В приложении I рассмотрен вопрос о выделении вклада несвязанных диаграмм; Приложение II посвящено кинематическим вопросам.

II. Кинематика, обозначения и определения

Рассмотрим процесс неупругого столкновения адрона a с протоном, в результате которого рождается мюонная пара и некоторая система адронов N . В низшем порядке по электромагнитному взаимодействию процесс протекает через испускание и распад виртуального фотона γ^* .



Налетающим адроном могут быть π^\pm -мезон, протон или антипротон $a = \pi^\pm, p, \bar{p}$. Введем обозначения для импульсов согласно рис. 1:

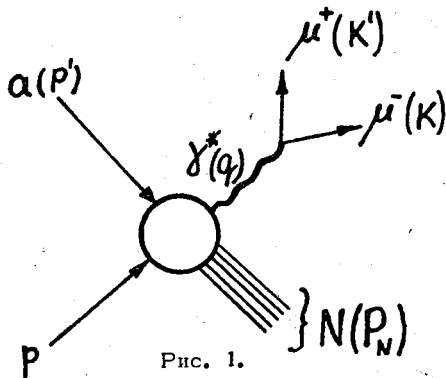


Рис. 1.

Законы сохранения 4-импульса имеют вид:

$$p' + p = q + p_N, \quad (2.2)$$

$$q = k' + k. \quad (2.3)$$

Соответствующий матричный элемент T-матрицы определяется выражением:

$$T_{if} = \frac{4\pi\alpha}{q^2} \epsilon^\mu \langle N_{out} | J_\mu(0) | p p' \rangle_{in}^c, \quad (2.4)$$

где $\epsilon^\mu = \bar{u}(k) \gamma^\mu v(k')$ - электромагнитный ток мюонной пары;
 $J_\mu(x)$ - оператор электромагнитного тока адронов; $\alpha = \frac{e^2}{4\pi} = \frac{1}{137}$ - постоянная тонкой структуры. Символ "с" означает, что необходимо отбросить несвязанные части в матричном элементе тока.

Полное сечение процесса (2.1) при столкновении неполяризованных частиц a и p , просуммированное по поляризациям лептонной пары, может быть представлено в виде

$$\sigma = \frac{4\pi^2 \alpha^2}{\sqrt{(p p')^2 - m^2 m'^2}} \int \frac{d^4 q}{(2\pi)^4} \frac{\pi(q^2)}{q^2} \left(-g^{\mu\nu} + \frac{q^\mu q^\nu}{q^2} \right) \rho_{\mu\nu}, \quad (2.5)$$

где m и m' - массы протона и частицы a соответственно. Здесь использованы следующие обозначения и определения:

$$\rho_{\mu\nu}(p, p', q) = \sum_N (2\pi)^4 \delta(p + p' - q - p_N) \langle p p' \rangle_{in} | J_\mu(0) | N_{out} \rangle^c \langle N_{out} | J_\nu(0) | p p' \rangle_{in}^c \quad (2.6)$$

$$\begin{aligned} & \sum \int \frac{d\vec{k} d\vec{k}'}{(2\pi)^6 2k_0 2k'_0} (2\pi)^4 \delta(k' + k - q) \epsilon^\mu \epsilon^\nu = \\ & = \sqrt{\frac{q^2 - 4m_\mu^2}{q^2}} \int \frac{d\Omega}{8\pi^2} (k_\mu k'_\nu + k_\nu k'_\mu - g_{\mu\nu} \frac{q^2}{2}) = \\ & = \pi(q^2) (-q^2 g^{\mu\nu} + q^\mu q^\nu), \end{aligned} \quad (2.7)$$

$\rho_{\mu\nu}([p_{\mu}(x), p_{\nu}(0)]/p^0)$

где

$$\pi(q^2) = \frac{1}{4\pi} \left(1 - \frac{q^2 - 4m^2}{3q^2}\right) \sqrt{\frac{q^2 - 4m^2}{q^2}} \Big|_{m_{\mu} \rightarrow 0} = \frac{1}{6\pi} \quad (2.8)$$

Здесь $d\Omega$ - элемент телесного угла, связанный с направлением импульса одного из мюонов в системе центра масс мюонной пары $\vec{q} = 0$; m_{μ} - масса мюона.

Из условия сохранения тока следует, что тензор $\rho_{\mu\nu}(p, p', q)$ может быть разложен по пяти линейно-независимым градиентно-инвариантным структурам

$$\begin{aligned} \rho_{\mu\nu}(p, p', q) = & \rho_1 \left(-g_{\mu\nu} + \frac{q_{\mu}q_{\nu}}{q^2}\right) + \rho_2 \mathcal{P}_{\mu} \mathcal{P}_{\nu} + \rho_3 \mathcal{P}'_{\mu} \mathcal{P}'_{\nu} + \\ & + \rho_4 (\mathcal{P}_{\mu} \mathcal{P}'_{\nu} + \mathcal{P}_{\nu} \mathcal{P}'_{\mu}) + i\rho_5 (\mathcal{P}_{\mu} \mathcal{P}'_{\nu} - \mathcal{P}_{\nu} \mathcal{P}'_{\mu}), \end{aligned} \quad (2.9)$$

где

$$\mathcal{P}_{\mu} = p_{\mu} - \frac{p \cdot q}{q^2} q_{\mu} \quad \mathcal{P}'_{\mu} = p'_{\mu} - \frac{p' \cdot q}{q^2} q_{\mu} \quad (2.10)$$

Все формфакторы ρ_i являются вещественными скалярными функциями четырех независимых инвариантных переменных, построенных из векторов p , p' и q . Например, можно выбрать переменную q^2 - квадрат массы виртуального фотона и обычные мандельштамовские переменные s, t, u :

$$\begin{aligned} s &= (p + p')^2 = m^2 + m'^2 + 2m\epsilon \\ t &= (p' - q)^2 = \Delta^2 - \\ u &= (p - q)^2 = m^2 + q^2 - 2\nu, \end{aligned} \quad (2.11)$$

где инвариант $\nu = p \cdot q$ в лабораторной системе ($\vec{p} = 0$) пропорционален энергии виртуального фотона и $\epsilon = \frac{1}{m}(pp')$ - энергия налетающей частицы в лабораторной системе. Если ввести еще один инвариант $m_N^2 = p_N^2$, представляющий квадрат инвариантной массы системы адронов, то между

пятью инвариантами будет иметь место линейное соотношение

$$s + t + u = q^2 + m_N^2 + m^2 + m'^2. \quad (2.12)$$

В дальнейшем оказывается полезным разложение тензора $\rho_{\mu\nu}$ по структурам, соответствующим определенным поляризациям виртуального фотона. Определим направления векторов поляризации виртуального фотона в лабораторной системе ($\vec{p}'=0$) согласно рис. 2.

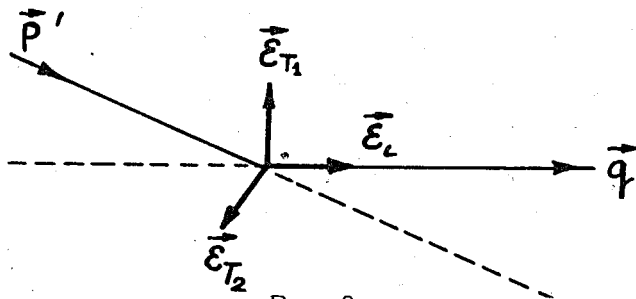


Рис. 2.

Соответствующие релятивистские четырехмерные векторы поляризаций имеют вид:

$$\epsilon_{\mu}^{(L)} = \frac{1}{\sqrt{-\mathcal{P}^2}} \mathcal{P}_{\mu}, \quad (2.13a)$$

$$\epsilon_{\mu}^{(T_1)} = \left[\frac{\mathcal{P}^2}{(\mathcal{P}\mathcal{P}')^2 - \mathcal{P}^2 \mathcal{P}'^2} \right]^{1/2} \left(\mathcal{P}'_{\mu} - \frac{\mathcal{P}\mathcal{P}'_{\mu}}{\mathcal{P}^2} \right), \quad (2.13b)$$

$$\epsilon_{\mu}^{(T_2)} = \frac{1}{\sqrt{q^2}} \frac{1}{\sqrt{(p \cdot p)^2 - m^2 m'^2}} \epsilon_{\mu\nu\lambda\rho} p_{\nu} p'_{\lambda} q_{\rho}, \quad (2.13b)$$

где

$$\mathcal{P}^2 = \frac{1}{q^2} (m^2 q^2 - \nu^2),$$

$$\mathcal{P}'^2 = \frac{1}{q^2} (m'^2 q^2 - (\mathcal{P}' \cdot q)^2), \quad (2.14)$$

$$\mathcal{P}\mathcal{P}' = \frac{1}{q^2} (m^2 \epsilon q^2 - \nu(\mathcal{P}' \cdot q)).$$

Нетрудно видеть, что векторы поляризаций имеют следующие свойства:

$$\epsilon_{\mu}^{(1)} q^{\mu} = 0, \quad \epsilon_{\mu}^{(1)} \epsilon^{(k)\mu} = -\delta_{ik} \quad (i, k = T_1, T_2, L),$$

$$\sum_{i=T_1, T_2, L} \epsilon_{\mu}^{(i)} \epsilon_{\nu}^{(i)} = -g_{\mu\nu} + \frac{q_{\mu} q_{\nu}}{q^2}. \quad (2.15)$$

Используя формулы (2.13) и (2.15), можно привести разложение (2.9) к виду

$$\begin{aligned} \rho_{\mu\nu} = & \rho_{T_1} \epsilon_{\mu}^{(T_1)} \epsilon_{\nu}^{(T_1)} + \rho_{T_2} \epsilon_{\mu}^{(T_2)} \epsilon_{\nu}^{(T_2)} + \rho_L \epsilon_{\mu}^{(L)} \epsilon_{\nu}^{(L)} + \\ & + \rho_{TL}^{(+)} (\epsilon_{\mu}^{(L)} \epsilon_{\nu}^{(T_1)} + \epsilon_{\nu}^{(L)} \epsilon_{\mu}^{(T_1)}) + i \rho_{TL}^{(-)} (\epsilon_{\mu}^{(L)} \epsilon_{\nu}^{(T_1)} - \epsilon_{\nu}^{(L)} \epsilon_{\mu}^{(T_1)}), \end{aligned} \quad (2.16)$$

причем

$$\rho_L = \rho_1 - \mathcal{P}^2 \rho_2 - \frac{(\mathcal{P} \cdot \mathcal{P}')^2}{\mathcal{P}^2} \rho_3 - 2\mathcal{P} \cdot \mathcal{P}' \rho_4, \quad (2.17a)$$

$$\rho_{T_1} = \rho_1 - \frac{(\mathcal{P} \cdot \mathcal{P}')^2 - \mathcal{P}^2 \mathcal{P}'^2}{\mathcal{P}^2} \rho_3, \quad (2.17b)$$

$$\rho_{T_2} = \rho_1. \quad (2.17b)$$

$$\begin{aligned} \rho_{TL}^{(+)} \pm i \rho_{TL}^{(-)} = & \frac{\mathcal{P} \cdot \mathcal{P}'}{\mathcal{P}^2} [\mathcal{P}^2 \mathcal{P}'^2 - (\mathcal{P} \cdot \mathcal{P}')^2]^{1/2} \rho_3 + \\ & + [\mathcal{P}^2 \mathcal{P}'^2 - (\mathcal{P} \cdot \mathcal{P}')^2]^{1/2} (\rho_4 \pm i \rho_5). \end{aligned} \quad (2.17\Gamma)$$

Подставляя разложение (2.16) в формулу для полного сечения процесса (2.5), получим:

$$\sigma = \frac{4\pi^2 \alpha^2}{\sqrt{(p \cdot p')^2 - m^2 m'^2}} \int \frac{d^4 q}{(2\pi)^4} \frac{\pi(q^2)}{q^2} \rho(s, q^2, \Delta^2, \nu), \quad (2.18)$$

где

$$\rho = (-g^{\mu\nu} + \frac{q^\mu q^\nu}{q^2}) \rho_{\mu\nu} = \rho_{T_1} + \rho_{T_2} + \rho_L. \quad (2.19)$$

Интегрирование в формуле (2.18) по импульсу виртуального фотона может быть сведено к интегрированию по инвариантным переменным, например:

$$d^4q = \frac{1}{4 \sqrt{(p, p')^2 - m^2 m'^2}} dq^2 d\Delta^2 d\nu d\phi, \quad (2.20)$$

где ϕ - азимутальный угол.

Пределы интегрирования находятся из законов сохранения, определяющих физическую область процесса (2.1) (см. приложение II).

Имея в дальнейшем в виду случай высоких энергий сталкивающихся адронов, когда $\epsilon \gg m$, $\epsilon \gg m'$, получим:

$$\sigma(\epsilon) = \frac{\alpha^2}{8\pi} \frac{1}{m\epsilon^2} \int_0^{2m\epsilon} \frac{dq^2}{q^2} \pi(q^2) \int_{q^2-2m\epsilon}^0 d\Delta^2 \int_{-\frac{\Delta^2}{2m}}^{\epsilon^* + \frac{\Delta^2}{4\epsilon^*}} d\delta \rho(s, q^2, \Delta^2, \delta), \quad (2.21)$$

где $\epsilon^* = \epsilon \frac{\Delta^2}{\Delta^2 - q^2}$, $\delta = \frac{1}{m} p \Delta$ - передача энергии в лабораторной системе.

Отметим, что полное сечение процесса (2.1) определяется лишь суммой форм-факторов $\rho_{T_1} + \rho_{T_2} + \rho_L$ и не зависит от $\rho_{TL}^{(\pm)}$. Изменение всех форм-факторов в отдельности возможно при изучении углового распределения по направлениям импульса мюонов в системе центра масс пары, где $\vec{q} = 0$.

Выбирая в системе покоя пары направление импульса \vec{p} вдоль оси z , а направление к плоскости рождения - по оси y , получим

$$\vec{k} = -\vec{k}' = |\vec{k}| (\sin\theta \cos\phi, \sin\theta \sin\phi, \cos\theta). \quad (2.22)$$

В результате для отнормированного углового распределения получим следующее выражение /11/ (см. также /12/):

$$W(\theta, \phi) = \frac{1}{4\pi\rho} \frac{1}{(1-\frac{v^2}{3})} \left\{ \rho_{T_1} (1-v^2 \sin^2\theta \cos^2\phi) + \right. \\ \left. + \rho_{T_n} (1-v^2 \sin^2\theta \sin^2\phi) + \rho_L (1-v^2 \cos^2\theta) - \rho_{TL}^{(+)} v^2 \sin 2\theta \cos\phi \right\}, \quad (2.23)$$

где $\rho = \rho_L + \rho_{T_1} + \rho_{T_2}$, $v = \frac{|\vec{k}|}{k_0} = \sqrt{\frac{q^2 - 4m_\mu^2}{q^2}}$ - скорость мюонов в системе $\vec{q} = 0$.

Как отмечено в /11/, формфактор $\rho_{TL}^{(-)}$ пропорционален поляризации одного из мюонов вдоль нормали к плоскости рождения, т.е. вдоль оси y . Отметим также, что измерение формфакторов $\rho_T \equiv \rho_{T_1} + \rho_{T_2}$ и ρ_L может быть произведено изучением распределения лишь по углу θ :

$$W(\theta) = \int_0^{2\pi} d\phi W(\theta, \phi) = \\ = \frac{1}{2\rho(1-\frac{v^2}{3})} \left\{ \rho_L (1-v^2 \cos^2\theta) + \rho_T \left(1 - \frac{v^2}{2} \sin^2\theta\right) \right\}. \quad (2.24)$$

III. Коммутаторы токов

Свяжем величину $\rho_{\mu\nu}(p, p', q)$, входящую в определение сечения процесса (2.1), с Фурье-образом диагонального матричного элемента коммутатора электромагнитных токов:

$$A_{\mu\nu}(p, p', q) = \int dx e^{-iqx} \langle pp' | \text{in} | [J_\mu(x), J_\nu(0)] | pp' | \text{in} \rangle^c = \\ = a_{\mu\nu}(p, p', q) - a_{\nu\mu}(p, p' - q). \quad (3.1)$$

Подразумеваем, что частицы в обкладках на поляризованы; символ "с" означает, что берется связанная в целом часть матричного элемента

коммутатора двух токов. Очевидно, что $A_{\mu\nu}$ и $a_{\mu\nu}$ могут быть разложены по пяти независимым градиентно-инвариантным структурам, аналогично разложению (2.9), причем

$$A_1(p, p', q) = a_1(p, p', q) - a_1(p, p' - q) \quad (3.2a)$$

$i=1,2,3,4$

$$A_5(p, p', q) = a_5(p, p', q) + a_5(p, p', -q). \quad (3.2b)$$

Отметим, что величины A_1 не имеют определенных свойств симметрии по переменной ν при фиксированных переменных s, q^2 и Δ^2 . Действительно, при подстановке $q \rightarrow -q$ имеем

$$\Delta^2 \rightarrow \Delta'^2 = (p' + q)^2 = 2(m'^2 + q^2) - \Delta^2 \quad (3.3)$$

Однако, если вместо переменной Δ^2 фиксировать отношение

$$\alpha = \frac{p' \cdot q}{p \cdot q} = \frac{m'^2 + q^2 - \Delta^2}{2\nu}, \quad (3.4)$$

то величины $A_{i=1,2,3,4}(s, q^2, \alpha, \nu)$ становятся нечетными, а величина $A_5(s, q^2, \alpha, \nu)$ — четной функциями ν соответственно.

Рассмотрим теперь более подробно величину $a_{\mu\nu}$. Используя условие полноты векторов "out" - состояний, получим

$$a_{\mu\nu}(p, p', q) = \sum_N^c (2\pi)^4 \delta(p + p' - q - p_N) \langle pp' \text{in} | J_\mu(0) | N \text{out} \rangle \langle N \text{out} | J_\nu(0) | pp' \text{in} \rangle, \quad (3.5)$$

где символ "с" над знаком суммы означает, что выбираются лишь связанные в целом матричные элементы произведения двух токов.

Разобьем матричный элемент тока $\langle N \text{out} | J_\mu(0) | pp' \text{in} \rangle$ на связанные и несвязанные части согласно рис. 3 (см. приложение I).

В результате величина $a_{\mu\nu}$ может быть представлена в виде

$$a_{\mu\nu}(p, p, q) = \rho_{\mu\nu}(p, p; q) + \tilde{\rho}_{\mu\nu}(p, p; q), \quad (3.6)$$

где величина $\rho_{\mu\nu}$ есть полностью связанная часть матричного элемента произведения двух токов, определенная формулой (2.6), а через $\tilde{\rho}_{\mu\nu}$ обозначен вклад 15 слабо связанных обобщенных "z"-диаграмм, символически изображенных на рис. 4.

При этом из закона сохранения импульса и условия спектральности следует, что при $q^2 > 0$:

1. $\rho_{\mu\nu}$ отлична от нуля при

$$\nu > 0; \quad m_N^2 \leq (\sqrt{s} - \sqrt{q^2})^2; \quad (3.7a)$$

2. $\tilde{\rho}_{\mu\nu}$ отлична от нуля при

$$\nu < 0; \quad m_N^2 \geq (\sqrt{s} + \sqrt{q^2})^2. \quad (3.7b)$$

Как видно из (3.7b), в пределе $s \rightarrow \infty$ при $q^2 > 0$ величина $\tilde{\rho}_{\mu\nu}$, соответствующая вкладам "z"-диаграмм, определяется промежуточными состояниями адронов N с бесконечно тяжелыми эффективными масса-

ми $m_N = \sqrt{p_N^2}$. Отсюда, в частности, следует, что при $q^2 > 0$

$$\lim_{s \rightarrow \infty} \rho_{\mu\nu}^s = 0. \quad (3.8)$$

$$\frac{m_N^2}{s} \rightarrow 0$$

IV . Динамика при бесконечном импульсе и асимптотические правила сумм

Ниже мы покажем, что вопрос о поведении формфакторов процесса рождения мюонных пар (2.1) при высоких энергиях сталкивающихся адронов и больших энергиях и массах виртуального фотона, когда

$$s, q^2, \nu \rightarrow \infty$$

$$a = \frac{p' \cdot q}{p \cdot q} = \text{фиксировано}, \quad \omega = \frac{q^2}{2\nu} = \text{фиксировано}, \quad (4.1)$$

может быть сведен к изучению одновременных коммутационных соотношений между пространственными компонентами операторов электромагнитных токов адронов и их производными по времени.

Использование одновременных коммутационных соотношений значительно упрощается в системе центра масс мюонной пары, где $q = (q_0, 0)$. Отметим, что в данной системе лишь пространственные компоненты градиентно-инвариантных тензоров $A_{\mu\nu}$ и $\rho_{\mu\nu}$ отличны от нуля.

Интегрируя обе части равенства (3.1) по dq_0 , можно получить ряд соотношений

$$\frac{1}{2\pi} \int_{-\infty}^{\infty} dq_0 A_{ik}(p, p', q_0) = B_{ik}(\vec{p}, \vec{p}'), \quad (4.2a)$$

$$\frac{1}{2\pi} \int_{-\infty}^{\infty} q_0 dq_0 A_{ik}(p, p', q_0) = C_{ik}(\vec{p}, \vec{p}') \quad (4.2b)$$

и т.д.

Здесь

$$B_{ik}(\vec{p}, \vec{p}') = \int d\vec{x} \langle p, p' | \text{in} | [J_i(\vec{x}, 0) J_k(0)] | pp' \text{in} \rangle, \quad (4.3a)$$

$$C_{ik}(\vec{p}, \vec{p}') = \frac{1}{i} \int d\vec{x} \langle pp' | \text{in} | [J_i(\vec{x}, 0), J_k(0)] | pp' \text{in} \rangle, \quad (4.3b)$$

где одновременные коммутаторы определяются конкретной моделью алгебры токов.

Отметим, что в избранной системе, где $\vec{q} = 0$, инвариантные переменные, от которых зависят формфакторы, имеют следующий вид:

$$\begin{aligned} s &= m^2 + m'^2 + 2(p_0 p'_0 - \vec{p} \vec{p}'), \\ q^2 &= q_0^2, \\ \nu &= p_0 q_0, \\ \alpha &= \frac{p'_0}{p_0}. \end{aligned} \quad (4.4)$$

Отсюда следует, что интегрирование в формулах (4.2) производится вдоль параболы $q^2 = \frac{\nu^2}{p_0^2}$ в плоскости (q^2, ν) при фиксированных значениях переменных s, α .

Подобные правила сумм при произвольных фиксированных импульсах p и p' содержат, вообще говоря, вклады "z"-диаграмм. Как было отмечено в предыдущем параграфе, в пределе $s \rightarrow \infty$ при $q^2 > 0$ вклады "z"-диаграмм определяются промежуточными состояниями адронов N с бесконечно тяжелыми эффективными массами m_N .

В соответствии с общепринятой идеологией метода алгебры токов мы будем предполагать, что вклады "z"-диаграмм исчезают в пределе $s \rightarrow \infty$.

Это предположение оказывается справедливым в случае, когда можно изменить порядок перехода к пределу $s \rightarrow \infty$ и интегрирования в формулах (4.2). Действительно, в случае, например, правил сумм (4.2a) вклад "z"-диаграмм определяется выражением типа:

$$\int_{-\infty}^{\infty} dq_0 \tilde{\rho}_{1k}(p, p', q_0) = - \int_s^{\infty} \frac{dm_N^2}{2E_N} \tilde{\rho}_{1k}(p, p', q_0). \quad (4.5)$$

Переходя к пределу $s \rightarrow \infty$ под знаком интеграла при фиксированном значении m_N^2 и учитывая формулу (3.8), найдем, что вклад "z"-диаграмм в правилах сумм исчезает в этом пределе.

В системе центра масс лептонной пары переход к пределу $s \rightarrow \infty$ реализуется при условии

$$p_0, p'_0 \rightarrow \infty, \quad \alpha = \frac{p'_0}{p_0} = \text{фикс.}, \quad \beta = \frac{p'_z}{p_0} = \text{фикс.} \quad (4.6)$$

при следующем выборе направлений импульсов

$$\vec{p} = \{0, 0, p_z\}, \quad \vec{p}' = \{p'_x, 0, p'_z\} \quad (4.7)$$

Отметим, что при фиксированном значении переменной $\omega = \frac{q^2}{2\nu}$ в пределе (4.6) имеем

$$s, q^2 \quad \nu \rightarrow \infty \quad \frac{s}{2\nu} = \frac{\alpha(1-\beta)}{2\omega} = \text{фикс.}; \quad \frac{q^2}{2\nu} = \omega = \text{фикс.} \quad (4.8)$$

Предположим теперь, что существуют пределы

$$V_{1k}(\alpha, \beta) = \lim_{\substack{p_0, p'_0 \rightarrow \infty \\ \alpha, \beta = \text{фикс.}}} 2p_0 V_{1k}(\vec{p}, \vec{p}') \quad (4.9a)$$

$$C_{1k}(\alpha, \beta) = \lim_{\substack{p_0, p'_0 \rightarrow \infty \\ \alpha, \beta = \text{фикс.}}} C_{1k}(\vec{p}, \vec{p}'), \quad (4.9b)$$

где тензоры в левых частях уравнений (4.9) являются безразмерными величинами, зависящими от выбора конкретной модели.

Переходя в правилах сумм (4.2) к интегрированию по переменной $\omega = \frac{q^2}{2\nu}$, можно показать при этом, что в пределе (4.8) формфакторы $\rho_1(s, q^2, a, \nu)$ имеют следующее поведение:

$$\rho_1(s, q^2, a, \nu) \rightarrow \frac{\omega^2}{q^2} F_1(a, \beta, \omega), \quad (4.10)$$

$i = T_1, T_2, L, TL$

При этом выполняются соотношения:

$$\frac{1}{\pi} \int_0^{\omega_0} \omega d\omega F_{T_1}(a, \beta, \omega) = C_{xx}(a, \beta), \quad (4.11a)$$

$$\frac{1}{\pi} \int_0^{\omega_0} \omega d\omega F_{T_2}(a, \beta, \omega) = C_{yy}(a, \beta), \quad (4.11б)$$

$$\frac{1}{\pi} \int_0^{\omega_0} \omega d\omega F_L(a, \beta, \omega) = C_{zz}(a, \beta), \quad (4.11в)$$

$$\frac{1}{\pi} \int_0^{\omega_0} \omega d\omega F_{TL}^{(+)}(a, \beta, \omega) = C_{xz}(a, \beta) = C_{zx}(a, \beta), \quad (4.11г)$$

$$\frac{1}{\pi} \int_0^{\omega_0} \omega d\omega F_{TL}^{(-)}(a, \beta, \omega) = B_{xz}(a, \beta) = -B_{zx}(a, \beta), \quad (4.11д)$$

где

$$\omega_0 = \frac{P_0 + P'_0}{2p_0} = \frac{1}{2}(1 + a).$$

Здесь выписаны лишь те соотношения, которые не являются тривиальными по соображениям четности относительно переменной q_0 . Соотношения (4.11) модельно-независимы и являются основным результатом работы.

В модели кварков, взаимодействующих посредством нейтрального векторного поля ("глюонная" модель), коммутаторы имеют вид:

$$[J_i(\vec{x}, 0), J_j(0)] = 2i \delta(\vec{x}) \epsilon_{ijk} \bar{\Psi} \gamma_0 \Sigma_k Q^2 \Psi, \quad (4.12a)$$

$$[\dot{J}_i(\vec{x}, 0), J_j(0)] = -\delta(\vec{x}) \{ i(\gamma_i \partial_j + \gamma_j \partial_i - 2\vec{\gamma} \vec{\partial} \delta_{ij}) - \\ - 2g(\gamma_i B_j + \gamma_j B_i - 2\vec{\gamma} \vec{B} \delta_{ij}) + 4M\delta_{ij} \} Q^2 \Psi, \quad (4.12b)$$

где

$$Q = \begin{pmatrix} \frac{2}{3} & 0 & 0 \\ 0 & -\frac{1}{3} & 0 \\ 0 & 0 & -\frac{1}{3} \end{pmatrix}, \quad Q^2 = \frac{2}{9} + \frac{1}{3} Q. \quad (4.13)$$

В модели векторных полей коммутаторы равны

$$[J_i(\vec{x}, 0), J_j(0)] = 0, \quad (4.14a)$$

$$[\dot{J}_i(\vec{x}, 0), J_j(0)] = \delta(\vec{x}) C_{ab} J_i^a(0) J_j^b(0) + c \text{ числа} \quad (4.14b)$$

Учитывая (4.14a), из правила сумм (4.11a) получим, что модель алгебры полей приводит к равенству

$$\int_0^{\omega_0} d\omega F_{TL}^{(-)}(\alpha, \beta, \omega) = 0. \quad (4.15)$$

Таким образом, можно заключить, что отличие от нуля левой части правила сумм (4.11d) однозначно свидетельствовало бы в пользу алгебры кварковых полей. В дальнейшем важно более подробно изучить структуру величин B_{ij} и C_{ij} .

В заключение авторы выражают благодарность Н.Н. Боголюбову за многочисленные стимулирующие обсуждения и Б.А. Арбузову, С.М. Биленькому, Д.И. Блохинцеву, С.Б. Герасимову, А.А. Логунову, М.А. Маркову, М.А. Мествиришвили, Л.Д. Соловьеву, Ф.Г. Ткебучаве, Р.Н. Фаустову за плодотворные дискуссии и ценные замечания.

Приложение I

Вычисление вклада слабо связанных диаграмм

Если состояние $\langle N \text{ out} |$ содержит частицу p или p' , то матричный элемент $\langle N \text{ out} | J_\mu(0) | pp' \text{ in} \rangle$ будет содержать несвязанные части, соответствующие свободному распространению этих частиц. Именно,

$$\begin{aligned} \langle N \text{ out} | J_\mu(0) | pp' \text{ in} \rangle = & \langle N \text{ out} | J_\mu(0) | pp' \text{ in} \rangle^{\circ} + \langle p | p \rangle \langle N \text{ out} | J_\mu(0) | p' \rangle^{\circ} + \\ & + \langle p' | p' \rangle \langle N \text{ out} | J_\mu(0) | p \rangle^{\circ} + \langle pp' \text{ out} | pp' \text{ in} \rangle \langle N \text{ out} | J_\mu(0) | 0 \rangle, \end{aligned}$$

что графически можно представить так:

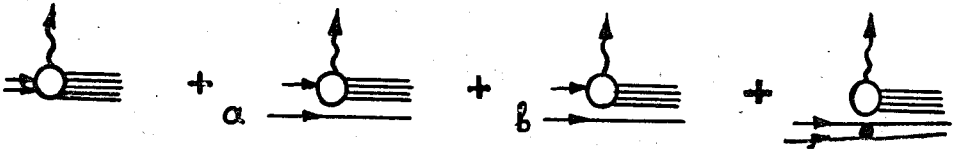


Рис. 3.

Первый член здесь представляет полностью связанную часть матричного элемента и входит в определение сечения (см. формулу (2.4)), а остальные три представляют собой несвязанные части и приводят к появлению так называемых обобщенных "z"-диаграмм. Если подставить это значение матричного элемента в выражение (3.3) для $a_{\mu\nu}(p, p', q)$, то в результате будем иметь 16 различных вкладов в $a_{\mu\nu}$:

$$\begin{aligned} a_{\mu\nu}(p, p', q) = \sum_N (2\pi)^4 \{ & \langle pp' \text{ in} | J_\mu | N \text{ out} \rangle^{\circ} \langle N \text{ out} | J_\nu | pp' \text{ in} \rangle^{\circ} \delta(p+p'-q-p_N) + \\ & + \langle pp' \text{ in} | J_\mu | N, p \text{ out} \rangle^{\circ} \langle N \text{ out} | J_\nu | p' \rangle^{\circ} \delta(p'-q-p_N) + \\ & + \langle pp' \text{ in} | J_\mu | N, p' \text{ out} \rangle^{\circ} \langle N \text{ out} | J_\nu | p \rangle^{\circ} \delta(p-q-p_N) + \\ & + \langle pp' \text{ in} | J_\mu | N, pp' \text{ out} \rangle^{\circ} \langle N \text{ out} | J_\nu | 0 \rangle^{\circ} \delta(p_N+q) + \end{aligned}$$

$$+ \langle p | J_\mu | N \text{ out} \rangle^c \langle N p' | J_\nu | p p' \text{ in} \rangle^c \delta(p - q - p_N) +$$

$$+ \langle p | J_\mu | N, p \text{ out} \rangle^c \langle N p' | J_\nu | p' \text{ in} \rangle^c \delta(q + p_N) +$$

$$+ \langle p | J_\mu | N p' \text{ out} \rangle^c \langle N p' | J_\nu | p \text{ in} \rangle^c \delta(p - p' - q - p_N) +$$

$$+ \langle p | J_\mu | N p p' \text{ out} \rangle^c \langle N p' | J_\nu | 0 \rangle^c \delta(p' + q + p_N) +$$

$$\langle p' | J_\mu | N \text{ out} \rangle^c \langle N p | J_\nu | p p' \text{ in} \rangle^c \delta(p' - q - p_N) +$$

2

$$\langle p' | J_\mu | N, p, \text{out} \rangle^c \langle N p | J_\nu | p' \rangle^c \delta(p' - p - q - p_N) +$$

$$\langle p' | J_\mu | N p' \text{ out} \rangle^c \langle N p | J_\nu | p \rangle^c \delta(q + p_N)$$

$$\langle p' | J_\mu | N, p p', \text{out} \rangle^c \langle N p | J_\nu | 0 \rangle^c \delta(p + q + p_N)$$

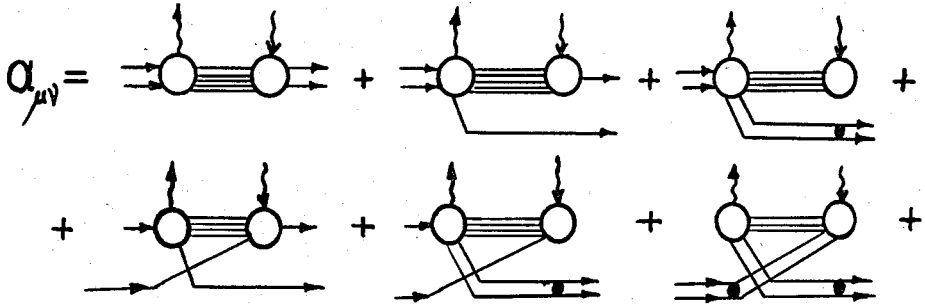
$$\langle 0 | J_\mu | N \text{ out} \rangle^c \langle N p p' | J_\nu | p p' \text{ in} \rangle^c \delta(q + p_N)$$

$$\langle 0 | J_\mu | N p \text{ out} \rangle^c \langle N p p' | J_\nu | p' \rangle^c \delta(p + q + p_N)$$

$$\langle 0 | J_\mu | N p' \text{ out} \rangle^c \langle N p p' | J_\nu | p \rangle^c \delta(p' + q + p_N)$$

$$\langle 0 | J_\mu | N p p' \text{ out} \rangle^c \langle N p p' | J_\nu | 0 \rangle^c \delta(p + p' + q + p_N) \}$$

Это разложение символически изображено на рис. 4.



+ диаграммы, получающиеся симметризацией начального и конечного состояний.

Рис. 4.

Таким образом, имеем:

$$a_{\mu\nu} = \rho_{\mu\nu} + \tilde{\rho}_{\mu\nu},$$

где через $\tilde{\rho}_{\mu\nu}$ обозначена сумма 15 слабо-связанных "z"-диаграмм. Исследование свойств этих диаграмм проведено в основном тексте.

Приложение II

Определение границ физической области ^{x)}

Закон сохранения 4-импульса имеет вид

$$p' + p = q + p_N. \quad (\text{П.1})$$

Введем вектор $\Delta = p' - q$. Тогда

$$p + \Delta = p_N. \quad (\text{П.2})$$

^{x)} Имеется интересная кинематическая аналогия между рассматриваемой здесь реакцией и реакцией неупругого нейтронорождения. Именно, если в приложении к работе Адлера ¹²⁾ заменить квадрат массы лептона на наше q^2 , а q^2 Адлера - на наше Δ^2 , то мы по существу сведем обе задачи друг к другу.

Откуда

$$\Delta^2 = m_N^2 - m^2 - 2m\delta,$$

где

$$\delta = \frac{1}{m} p \cdot \Delta = (\epsilon - q_0)$$

Случай $m_N = m$ соответствует случаю упругого рассеяния. Тогда Δ^2 и δ связаны однозначно, т.е. не являются независимыми переменными

$$\delta = -\frac{\Delta^2}{2m}.$$

Это минимальная δ_{\min}^* , так как q_0 при этом максимально.

Рассмотрим случай, когда виртуальный фотон летит назад в лабораторной системе. При этом ясно, что при фиксированных инвариантах он получит минимальную энергию $(q_0)_{\min}$, а значит

$$\delta_{\max} = \epsilon - (q_0)_{\min}. \quad (\text{П.3})$$

Найдем эту $(q_0)_{\min}$ из равенства

$$\Delta^2 = m'^2 + q^2 - 2\epsilon(q_0)_{\min} - 2\sqrt{\epsilon^2 - m'^2} \sqrt{(q_0)_{\min}^2 - q^2}. \quad (\text{П.4})$$

Положим $m' = 0$, тогда, решая это уравнение, найдем

$$(q_0)_{\min} = \frac{q^2 - \Delta^2}{4\epsilon} + \frac{\epsilon q^2}{q^2 - \Delta^2} \quad (\text{П.5})$$

$$\begin{aligned} \delta_{\max} = \epsilon - (q_0)_{\min} &= \epsilon \left(1 - \frac{q^2}{q^2 - \Delta^2} - \frac{q^2 - \Delta^2}{4\epsilon} \right) = \\ &= \epsilon^* + \frac{\Delta^2}{4\epsilon^*}, \end{aligned} \quad (\text{П.6})$$

где

$$\epsilon^* = \epsilon \frac{\Delta^2}{\Delta^2 - q^2}.$$

Таким образом, в физической области

$$-\frac{\Delta^2}{2m} \leq \delta \leq \epsilon^* + \frac{\Delta^2}{4\epsilon^*}. \quad (\text{П.7})$$

Найдем теперь физическую область Δ^2 при фиксированных s и q^2 .
Она определится из условия

$$\delta_{\min} = \delta_{\max}, \quad (\text{П.8})$$

откуда найдем

$$\Delta^{2(-)} \leq \Delta^2 \leq \Delta^{2(+)}, \quad (\text{П.9})$$

где

$$\Delta^{2(\pm)} = \frac{q^2 \epsilon + q^2 m^2 - 2m\epsilon \pm \epsilon \sqrt{4m^2 \epsilon^2 + q^4 - 4q^2 \epsilon m} - 4q^2 m}{2\epsilon + m}$$

Л и т е р а т у р а

1. М.А. Марков. Нейтрино, Изд. "Наука", Москва (1964); Препринт ОИЯИ Е2-4370, Дубна (1969).
2. S.Adler. *Phys.Rev.* 143, 1144 (1966).
3. J.D.Bjorken. SLAC-PUB-510 (1968); Varenna School, Course 41, Varenna. Italy (1967);
4. W.K.H.Panofsky. Rapporteur talk at 14th International Conference on High Energy Physics, Vienna, 1968.
5. J.D.Bjorken and E.A.Paschos. Preprint SLAC-PUB-572 (1969); J.D.Bjorken. Preprint SLAC-PUB-571 (1969).
6. C.Callan, D.Gross. *Phys.Rev.Lett.* 22, 156 (1969).
7. Р.М. Мурадян. Труды Международного симпозиума по теории элементарных частиц (Варна, Болгария, 1968).
8. А.А. Logunov, N.V.Hieu, I.T.Todorov, O.A.Khrustalev. *Phys.Lett.* 7, 69 (1963); А.А. Logunov, M.A.Mestvirishvili, Ngyen van Hieu. *Phys.Lett.* 25B, 661 (1967).

9. А.А. Логунов, М.А. Мествиришвили. Препринт ИФВЭ, СТФ, 69-34(1969).
10. Г.Г. Бунагян, Ю.П. Добрецов, Б.А. Долгошеин, Е.Д. Жижин, В.Г. Кириллов-Угрюмов, Ю.П. Никтин. Письма в ЖЭТФ: 8, 325 (1969).
11. R.J.Oakes. Nuovo Cim. 44, 440 (1966).
12. Ю.С. Суровцев, Ф.Г. Ткебучава. Препринт ОИЯИ Р2-4524, Дубна (1969).

Рукопись поступила в издательский отдел

18 июня 1969 года.